

シートフローと平坦河床の関連性について

東北大学大学院 学生員 田中 仁
東北大学工学部 正員 首藤伸大

1.はじめに

一方向流場、振動場のいずれにおいても、底面の摩擦の変化に伴ない、様々な河床形態が発生するといつて知られています。すなわち、前者においては、帶流力が限界値を越えて砂移動が始まりし、河床には、砂連、及び砂堆と呼ばれる波形が発生する。流速が増すと、河床波は押し流され、平坦河床となる。さらに流速が増すと、表面波と同位相で上流に進む反砂堆が発生する。一方、振動場においては、砂移動限界を越えたとき、砂連が発生するが、底面の水粒子運動が大きくなると砂連が消滅し、シートフロー状態の砂移動となる。このように、平坦河床とシートフローとは、互いに良く似た形態である。本論文では、粗面平板境界層理論をもとにし、両者、発生限界の関連性について考察する。

2. 平板に沿う粗面乱流境界層

平板境界層流れをもととし、一方向流における水深と振動流における底面水粒子移動振幅 $2am$ との等価性について考える。諸元を図1で定義する。Rotta¹⁾によれば、

$$\frac{\delta_1}{R_s} = \frac{u_*}{u_\infty} \exp\{-K(C_{r00} + K)\} \exp\{K \frac{u_\infty}{u_*}\} \quad (1)$$

$$\frac{x-x_0}{R_s} = \left[\left(\frac{u_\infty}{u_*} - \frac{2}{K} - I \right) \exp(K \frac{u_\infty}{u_*}) + \frac{2}{K} \exp(KI) \right] \quad (2)$$

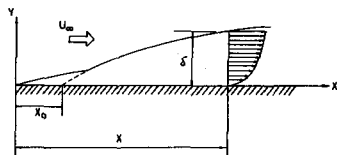


図1. 平板境界層

$\approx K$, δ_1 : 排除厚, R_s : 相当粗度, u_* : 摩擦速度, $K=0.4$, $C_{r00}+K=7.1$, $I=6.2$, $E_i(z)=\int_{-\infty}^z e^{z'/2} dz'$ である。
 $\approx z$, 境界層内K対数則を仮定すれば次式を得, δ と x の関係がわかる。

$$\frac{\delta_1}{\delta} = \frac{1}{\ln(305/R_s)} \quad (3)$$

式(1), (2), (3)を用いれば, $\delta/(x-x_0)$ を $(x-x_0)/R_s$ の関数として表わすことができる(図2)。回帰式は次式で表わされる。

$$\frac{\delta}{x-x_0} = 0.162 \cdot \left(\frac{x-x_0}{R_s} \right)^{-0.193} \quad (4)$$

$\approx z$, 一方向流においては、境界層が水面まで達しているとき、
 δ は、 z と等しいと考えられる。一方、振動流においては、

$u_\infty = 0$ の位相から半周期 K 後、境界層厚が成長し、後半の半周期には、流れが逆向きとなり、同様の現象が繰り返される。

式(4)は、 $z=am$ と等しいと仮定する。ただし、振動流においては、 u_∞ が時間的に変化しており、上記の類推は、かなり大胆なことである。式(4)で $x_0=0$ とすると、 δ および x を、これより、 δ および $z=am$ と置き換え、次式を得る。

$$\delta/R_s = 0.283 (am/R_s)^{0.807} \quad (5)$$

式(5)は、開水路抵抗則式。

$$f_{cu} = 0.32 \{ \ln(\delta/R_s) + 2.40 \}^{-2} \quad (6)$$

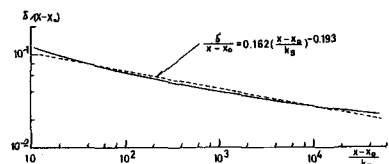


図2. 境界層厚さ

X 代入し、振動流に対する摩擦係数 f_w を得る。

$$f_w = 0.32 \{ 0.807 \ln (a_m/R_s) + 1.14 \}^{-2} \quad (7)$$

式(7)は、図3中に示されており、Jonsson らの提案して以来の後続の摩擦係数と近い値を取る。よって、式(7)の妥当性外、ある程度、示されたと考へられる。

3. シートフローと平坦河床

シートフローの発生限界としては、次式が提案されている。

$$\cdot Dangler \cdot Iman \quad (8.a) \quad \hat{U}_w^2 / Sg d = 240$$

$$\cdot 香取、渡辺、福川 \quad (8.b) \quad \frac{1}{2} f_w \hat{U}_w^2 / Sg d = 0.5 \sim 0.6$$

また、平坦河床の発生限界については式(9)である。

$$\cdot Garde \cdot Raju \quad (9) \quad I/S = 0.02 (R/d)^{1/2}$$

ここで、 \hat{U}_w : 微小振幅波理論による底面水粒子速度の振幅、 S : 砂の水中比重、 g : 重力加速度、 d : 底質粒径、 I : エネルギー勾配、 R : 径深である。

以下では、式(8.b)を変形し、式(9)と比較する。その際、一方の流場に $a_m/R_s = 10^4$ と、他方の流場における $a_m/R_s = 10^3$ とすると、等価であるとし、また、 $R_s = d$ 、 $I = R$ とおく。

式(8.b)からして、 $\psi_w = \psi_c$ となる。

$$\psi_c = R I / S d = 0.5 \sim 0.6 \quad (10)$$

式(8.b)の両辺に $f_w/2$ をかけたと、左辺は ψ_w となる。右辺の f_w には、Jawort より陽極表示式 $f_w = \exp \{-5.98 + 5.21 (a_m/R_s)^{-0.194}\}$ を代入する。左辺を ψ_c と置き、右辺に式(10)を代入すると、次式を得る。

$$\frac{R I}{S d} = 0.303 \exp \left\{ 3.85 \left(\frac{R}{R_s} \right)^{-0.24} \right\} \quad (11)$$

式(9)、(10)、(11)を比較したのが図4である。図中で、遷移域と、砂連・砂堆領域の境界式(9)である。一方、 $\psi_c \sim R/R_s$ 、 $\psi_w \sim a_m/R_s$ の関係が示されたのが図5である。図5より、 $a_m/R_s \geq 10^4$ において、式(8.b)と式(9)は近い値を取る。振動流場における a_m/R_s が小さい領域では、非定常性が強く、これが大きくなるにつれて、定常運動に近づいていくものと考えられる。金子によれば、振動流にかけ砂連スケールは、 $a_m/R_s \geq 500$ において、一方向流れで、これが逆に漸近して行く。以上のことより、 $a_m/R_s = 10^3 \sim 10^4$ において振動流場と一方向流場との、砂移動のXカニズムが類似してしまつて、これが言えた。

4. 結語

平板境界層をもとにして、シートフローと平坦河床の類似点を見い出すことができた。今後、複数の共存する場を含め、砂移動の形態を統一的にまとめよう考へている。

《参考文献》

- 1). J.C. Rotta: Turbulente Strömungen
- 2). Dangler, J.R. and D.L. Iman, Proc. 15th ICCE (1976),
- 3). 香取、渡辺、福川, 第27回国際講義文集(1976)
- 4). Garde, R.J. and R. Raju, Proc. ASCE, HY(1983)
- 5). 金子, 第27回国際講義文集(1980)

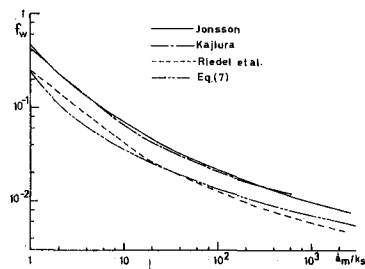


図3. 振動流摩擦係数

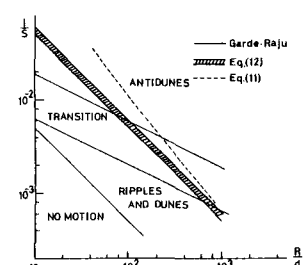


図4. シートフローと平坦河床 (1)

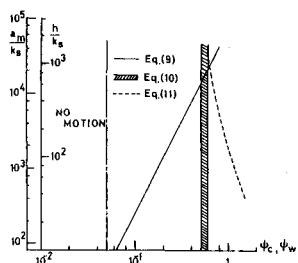


図5. シートフローと平坦河床 (2)